

(19) 日本国特許庁(JP)

(12) 特許公報(B2)

(11) 特許番号

特許第5547189号
(P5547189)

(45) 発行日 平成26年7月9日(2014.7.9)

(24) 登録日 平成26年5月23日(2014.5.23)

(51) Int.Cl. F I
HO 1 L 51/46 (2006.01) HO 1 L 31/04 1 5 2 D

請求項の数 37 (全 27 頁)

(21) 出願番号	特願2011-522084 (P2011-522084)	(73) 特許権者	308014846
(86) (22) 出願日	平成21年7月6日(2009.7.6)		メルク パテント ゲーエムペーハー
(65) 公表番号	特表2011-530808 (P2011-530808A)		ドイツ国 6 4 2 9 3 ダルムシュタット
(43) 公表日	平成23年12月22日(2011.12.22)		, フランクフルター シュトラーセ 2 5
(86) 国際出願番号	PCT/US2009/049701		0
(87) 国際公開番号	W02010/016986	(74) 代理人	100068755
(87) 国際公開日	平成22年2月11日(2010.2.11)		弁理士 恩田 博宣
審査請求日	平成24年7月6日(2012.7.6)	(74) 代理人	100105957
(31) 優先権主張番号	61/086, 977		弁理士 恩田 誠
(32) 優先日	平成20年8月7日(2008.8.7)	(74) 代理人	100142907
(33) 優先権主張国	米国 (US)		弁理士 本田 淳
		(72) 発明者	ジュ、ジェングオ
			アメリカ合衆国 0 1 8 2 4 マサチュー
			セッツ州 チェムスフォード ミーハン
			ドライブ 8

最終頁に続く

(54) 【発明の名称】 新規な光活性コポリマー並びに同コポリマーを含む物品及びシステム

(57) 【特許請求の範囲】

【請求項 1】

第 1 電極と、

第 2 電極と、

第 1 電極と第 2 電極との間に位置する光活性材料とを備える物品であって、前記光活性材料は、第 1 コモノマー繰返し単位、第 2 コモノマー繰返し単位、および第 3 コモノマー繰返し単位を含むポリマーを含有し、第 1 コモノマー繰返し単位はシラシクロペンタジチオフエン部分を含み、第 2 コモノマー繰返し単位はシクロペンタジチオフエン部分を含み、第 3 コモノマー繰返し単位はベンゾチアジアゾール部分を含み、

前記物品は光起電力セルとして構成されている、物品。

10

【請求項 2】

第 1 コモノマー繰返し単位と第 2 コモノマー繰返し単位との分子比は、多くとも 5 : 1 である、請求項 1 に記載の物品。

【請求項 3】

第 1 コモノマー繰返し単位と第 2 コモノマー繰返し単位との分子比は、少なくとも 1 : 1 である、請求項 1 に記載の物品。

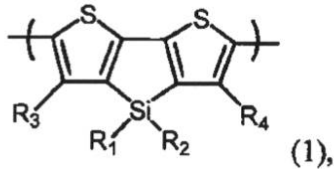
【請求項 4】

第 1 コモノマー繰返し単位と第 2 コモノマー繰返し単位との分子比は、3 : 1 である、請求項 1 に記載の物品。

【請求項 5】

20

第1モノマー繰り返し単位は式(1)のシラシクロペンタジチオフェン部分を含み、
【化1】



前記式中、 R_1 、 R_2 、 R_3 、および R_4 の各々は、独立して、H、 $C_1 \sim C_{20}$ アルキル、 $C_1 \sim C_{20}$ アルコキシ、 $C_3 \sim C_{20}$ シクロアルキル、 $C_1 \sim C_{20}$ ヘテロシクロアルキル、アリーール、ヘテロアリーール、ハロ、CN、OR、 $C(O)R$ 、 $C(O)OR$ 、または SO_2R であり、RはH、 $C_1 \sim C_{20}$ アルキル、 $C_1 \sim C_{20}$ アルコキシ、アリーール、ヘテロアリーール、 $C_3 \sim C_{20}$ シクロアルキルまたは $C_1 \sim C_{20}$ ヘテロシクロアルキルである、請求項1に記載の物品。

10

【請求項6】

R_1 および R_2 の各々は、独立して、H、 $C_1 \sim C_{20}$ アルキル、 $C_1 \sim C_{20}$ アルコキシ、 $C_3 \sim C_{20}$ シクロアルキル、 $C_1 \sim C_{20}$ ヘテロシクロアルキル、アリーール、またはヘテロアリーールである、請求項5に記載の物品。

【請求項7】

R_1 および R_2 の各々は、独立して、 $C_1 \sim C_{20}$ アルキルである、請求項6に記載の物品。

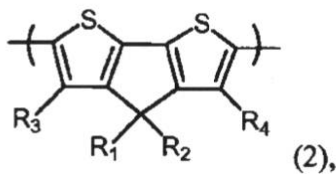
20

【請求項8】

R_1 および R_2 の各々は2-エチルヘキシルである、請求項7に記載の物品。

【請求項9】

第2モノマー繰り返し単位は式(2)のシクロペンタジチオフェン部分を含み、
【化2】



30

前記式中、 R_1 、 R_2 、 R_3 、および R_4 の各々は、独立して、H、 $C_1 \sim C_{20}$ アルキル、 $C_1 \sim C_{20}$ アルコキシ、 $C_3 \sim C_{20}$ シクロアルキル、 $C_1 \sim C_{20}$ ヘテロシクロアルキル、アリーール、ヘテロアリーール、ハロ、CN、OR、 $C(O)R$ 、 $C(O)OR$ 、または SO_2R であり、RはH、 $C_1 \sim C_{20}$ アルキル、 $C_1 \sim C_{20}$ アルコキシ、アリーール、ヘテロアリーール、 $C_3 \sim C_{20}$ シクロアルキルまたは $C_1 \sim C_{20}$ ヘテロシクロアルキルである、請求項1に記載の物品。

【請求項10】

R_1 および R_2 の各々は、独立して、H、 $C_1 \sim C_{20}$ アルキル、 $C_1 \sim C_{20}$ アルコキシ、 $C_3 \sim C_{20}$ シクロアルキル、 $C_1 \sim C_{20}$ ヘテロシクロアルキル、アリーール、またはヘテロアリーールである、請求項9に記載の物品。

40

【請求項11】

R_1 および R_2 の各々は独立して、 $C_1 \sim C_{20}$ アルキルである、請求項10に記載の物品。

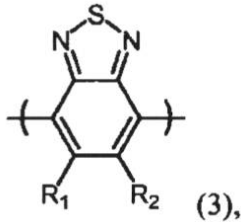
【請求項12】

R_1 および R_2 の各々は2-エチルヘキシルである、請求項11に記載の物品。

【請求項13】

第3モノマー繰り返し単位は式(3)のベンゾチアジアゾール部分を含み、

【化3】



前記式中、 R_1 および R_2 の各々は、独立して、 H 、 $C_1 \sim C_{20}$ アルキル、 $C_1 \sim C_{20}$ アルコキシ、 $C_3 \sim C_{20}$ シクロアルキル、 $C_1 \sim C_{20}$ ヘテロシクロアルキル、アリール、ヘテロアリール、ハロ、 CN 、 OR 、 $C(O)R$ 、 $C(O)OR$ 、または SO_2R であり、 R は H 、 $C_1 \sim C_{20}$ アルキル、 $C_1 \sim C_{20}$ アルコキシ、アリール、ヘテロアリール、 $C_3 \sim C_{20}$ シクロアルキルまたは $C_1 \sim C_{20}$ ヘテロシクロアルキルである、請求項 1 に記載の物品。

10

【請求項 14】

R_1 および R_2 の各々は、独立して、 H である、請求項 13 に記載の物品。

【請求項 15】

前記ポリマーは電子供与体材料である、請求項 1 に記載の物品。

【請求項 16】

前記物品は電子受容体材料をさらに含む、請求項 15 に記載の物品。

20

【請求項 17】

前記電子受容体材料は、フラーレン、無機ナノ粒子、オキサジアゾール、ディスコティック液晶、炭素ナノロッド、無機ナノロッド、 CN 基を含有するポリマー、 CF_3 基を含有するポリマーおよびそれらの組み合わせのうちから選択される材料を含む、請求項 16 に記載の物品。

【請求項 18】

前記電子受容体材料は置換フラーレンを含有する、請求項 17 に記載の物品。

【請求項 19】

前記置換フラーレンは C_{61} -PCBM または C_{71} -PCBM を含む、請求項 18 に記載の物品。

30

【請求項 20】

前記物品は、AM1.5 の条件下で、少なくとも 4 の効率を有する、請求項 1 に記載の物品。

【請求項 21】

前記物品は、AM1.5 の条件下で、少なくとも 5 の効率を有する、請求項 1 に記載の物品。

【請求項 22】

第 1 電極および第 2 電極と、

第 1 電極と第 2 電極との間に位置する第 1 光活性層および第 2 光活性層とを備えるシステムであって、第 1 光活性層および第 2 光活性層の少なくとも一方は、第 1 コモノマー繰り返し単位、第 2 コモノマー繰り返し単位、および第 3 コモノマー繰り返し単位を含むポリマーを含有し、第 1 コモノマー繰り返し単位はシラシクロペンタジチオフェン部分を含み、第 2 コモノマー繰り返し単位はシクロペンタジチオフェン部分を含み、第 3 コモノマー繰り返し単位はベンゾチアジアゾール部分を含み、

40

前記システムは光起電力システムとして構成されている、システム。

【請求項 23】

前記システムは、タンデム型光起電力セルを備える、請求項 22 に記載のシステム。

【請求項 24】

第 1 コモノマー繰り返し単位、第 2 コモノマー繰り返し単位、および第 3 コモノマー繰り返し単位を含むポリマーであって、第 1 コモノマー繰り返し単位はシラシクロペンタジ

50

チオフェン部分を含み、第2モノマー繰り返し単位はシクロペンタジチオフェン部分を含み、第3モノマー繰り返し単位はベンゾチアジアゾール部分を含む、ポリマー。

【請求項25】

第1モノマー繰り返し単位と第2モノマー繰り返し単位との分子比は、多くとも5 : 1である、請求項24に記載のポリマー。

【請求項26】

第1モノマー繰り返し単位と第2モノマー繰り返し単位との分子比は、少なくとも1 : 1である、請求項24に記載のポリマー。

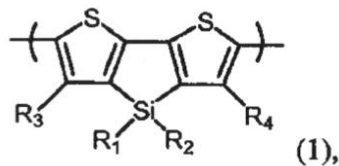
【請求項27】

第1モノマー繰り返し単位と第2モノマー繰り返し単位との分子比は、3 : 1である、請求項24に記載のポリマー。

10

【請求項28】

第1モノマー繰り返し単位は式(1)のシラシクロペンタジチオフェン部分を含み、
【化4】



前記式中、 R_1 、 R_2 、 R_3 、および R_4 の各々は、独立して、H、 $C_1 \sim C_{20}$ アルキル、 $C_1 \sim C_{20}$ アルコキシ、 $C_3 \sim C_{20}$ シクロアルキル、 $C_1 \sim C_{20}$ ヘテロシクロアルキル、アリール、ヘテロアリール、ハロ、CN、OR、 $C(O)R$ 、 $C(O)OR$ 、または SO_2R であり、RはH、 $C_1 \sim C_{20}$ アルキル、 $C_1 \sim C_{20}$ アルコキシ、アリール、ヘテロアリール、 $C_3 \sim C_{20}$ シクロアルキル、または $C_1 \sim C_{20}$ ヘテロシクロアルキルである、請求項24に記載のポリマー。

20

【請求項29】

R_1 および R_2 の各々は、独立して、H、 $C_1 \sim C_{20}$ アルキル、 $C_1 \sim C_{20}$ アルコキシ、 $C_3 \sim C_{20}$ シクロアルキル、 $C_1 \sim C_{20}$ ヘテロシクロアルキル、アリール、またはヘテロアリールである、請求項28に記載のポリマー。

【請求項30】

R_1 および R_2 の各々は、独立して、 $C_1 \sim C_{20}$ アルキルである、請求項29に記載のポリマー。

30

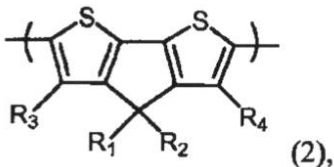
【請求項31】

R_1 および R_2 の各々は2-エチルヘキシルである、請求項30に記載のポリマー。

【請求項32】

第2モノマー繰り返し単位は式(2)のシクロペンタジチオフェン部分を含み、

【化5】



40

前記式中、 R_1 、 R_2 、 R_3 、および R_4 の各々は、独立して、H、 $C_1 \sim C_{20}$ アルキル、 $C_1 \sim C_{20}$ アルコキシ、 $C_3 \sim C_{20}$ シクロアルキル、 $C_1 \sim C_{20}$ ヘテロシクロアルキル、アリール、ヘテロアリール、ハロ、CN、OR、 $C(O)R$ 、 $C(O)OR$ 、または SO_2R であり、RはH、 $C_1 \sim C_{20}$ アルキル、 $C_1 \sim C_{20}$ アルコキシ、アリール、ヘテロアリール、 $C_3 \sim C_{20}$ シクロアルキルまたは $C_1 \sim C_{20}$ ヘテロシクロアルキルである、請求項24に記載のポリマー。

【請求項33】

R_1 および R_2 の各々は、独立して、H、 $C_1 \sim C_{20}$ アルキル、 $C_1 \sim C_{20}$ アルコ

50

キシ、 $C_3 \sim C_{20}$ シクロアルキル、 $C_1 \sim C_{20}$ ヘテロシクロアルキル、アリール、またはヘテロアリールである、請求項32に記載のポリマー。

【請求項34】

R_1 および R_2 の各々は、独立して、 $C_1 \sim C_{20}$ アルキルである、請求項33に記載のポリマー。

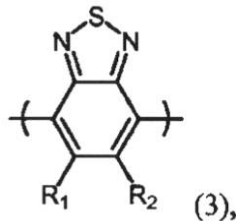
【請求項35】

R_1 および R_2 の各々は2-エチルヘキシルである、請求項34に記載のポリマー。

【請求項36】

第3コモノマー繰り返し単位は式(3)のベンゾチアジアゾール部分を含み、

【化6】



前記式中、 R_1 および R_2 の各々は、独立して、H、 $C_1 \sim C_{20}$ アルキル、 $C_1 \sim C_{20}$ アルコキシ、 $C_3 \sim C_{20}$ シクロアルキル、 $C_1 \sim C_{20}$ ヘテロシクロアルキル、アリール、ヘテロアリール、ハロ、CN、OR、 $C(O)R$ 、 $C(O)OR$ 、または SO_2R であり、RはH、 $C_1 \sim C_{20}$ アルキル、 $C_1 \sim C_{20}$ アルコキシ、アリール、ヘテロアリール、 $C_3 \sim C_{20}$ シクロアルキルまたは $C_1 \sim C_{20}$ ヘテロシクロアルキルである、請求項24に記載のポリマー。

【請求項37】

R_1 および R_2 の各々は、独立して、Hである、請求項36に記載のポリマー。

【発明の詳細な説明】

【技術分野】

【0001】

この開示は、新規な光活性ポリマー、並びに関連する構成要素、物品、システムおよび方法に関する。

米国特許法第119条(e)に準じて、本願は、2008年8月7日に出願された米国仮出願番号第61/086,977号に対して優先権を主張する。前記特許文献の内容は、参照により本願に援用される。

【背景技術】

【0002】

光起電力セル(光電池)は、一般に、光の形のエネルギーを電力の形のエネルギーに転換するために用いられる。典型的な光起電力セルは、2つの電極間に配置された光活性材料を備える。一般に、光は電極の一方または双方を通過して光活性材料と相互作用することにより、電荷担体(すなわち電子および正孔)を生成する。その結果、光活性材料が光および一般電荷担体を吸収する能力は、光起電力セルの全体的な効率を制限する可能性がある。

【発明の概要】

【発明が解決しようとする課題】

【0003】

この開示は、新規な光活性ポリマー、並びに関連する構成要素、物品、システムおよび方法に関する。

【課題を解決するための手段】

【0004】

一態様において、この開示は、第1コモノマー繰り返し単位、第2コモノマー繰り返し単位、および第3コモノマー繰り返し単位を含むポリマーを特徴とする。第1コモノマー

10

20

30

40

50

繰り返し単位はシラシクロペンタジチオフエン部分を含む。第2モノマー繰り返し単位はシクロペンタジチオフエン部分を含む。第3モノマー繰り返し単位はベンゾチアジアゾール部分を含む。

【0005】

別の態様において、この開示は、第1電極と、第2電極と、第1電極と第2電極との間に位置する光活性材料とを備えた物品を特徴とする。前記光活性材料は上述したポリマーを含有する。前記物品は光起電力セルとして構成されている。

【0006】

別の態様において、この開示は、第1電極と、第2電極と、第1電極と第2電極との間に位置する光活性材料とを備えた物品を特徴とする。前記光活性材料は、第1モノマー繰り返し単位、第2モノマー繰り返し単位、および第3モノマー繰り返し単位を含むポリマーを含有する。第1モノマー繰り返し単位と第2モノマー繰り返し単位との分子比は、多くとも約5：1である。前記物品は光起電力セルとして構成されている。

10

【0007】

さらに別の態様において、この開示は、第1電極および第2電極と、第1電極と第2電極との間に位置する第1光活性層および第2光活性層とを備えたシステムを特徴とする。第1光活性層および第2光活性層の少なくとも一方は上述したポリマーを含有する。前記システムは光起電力システムとして構成されている。

【0008】

実施形態は、以下の特徴の1つ以上を備え得る。

20

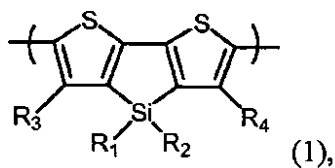
一部の実施形態において、第1モノマー繰り返し単位と第2モノマー繰り返し単位との分子比は、多くとも10：1であり、かつ/または少なくとも1：1（例えば3：1約）である。

【0009】

一部の実施形態において、第1モノマー繰り返し単位は、式(1)のシラシクロペンタジチオフエン部分を含む。

【0010】

【化1】



30

前記式中、 R_1 、 R_2 、 R_3 、および R_4 の各々は、独立して、H、 $C_1 \sim C_{20}$ アルキル、 $C_1 \sim C_{20}$ アルコキシ、 $C_3 \sim C_{20}$ シクロアルキル、 $C_1 \sim C_{20}$ ヘテロシクロアルキル、アリール、ヘテロアリール、ハロ、CN、OR、 $C(O)R$ 、 $C(O)OR$ 、または SO_2R であり、RはH、 $C_1 \sim C_{20}$ アルキル、 $C_1 \sim C_{20}$ アルコキシ、アリール、ヘテロアリール、 $C_3 \sim C_{20}$ シクロアルキル、または $C_1 \sim C_{20}$ ヘテロシクロアルキルである。例えば、 R_1 および R_2 の各々は独立して、 $C_1 \sim C_{20}$ アルキル（例えば2-エチルヘキシル）である。

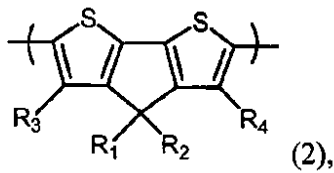
40

【0011】

一部の実施形態において、第2モノマー繰り返し単位は、式(2)のシクロペンタジチオフエン部分を含む。

【0012】

【化2】



前記式中、 R_1 、 R_2 、 R_3 、および R_4 の各々は、独立して、 H 、 $C_1 \sim C_{20}$ アルキル、 $C_1 \sim C_{20}$ アルコキシ、 $C_3 \sim C_{20}$ シクロアルキル、 $C_1 \sim C_{20}$ ヘテロシクロアルキル、アリール、ヘテロアリール、ハロ、 CN 、 OR 、 $C(O)R$ 、 $C(O)OR$ 、または SO_2R であり、 R は H 、 $C_1 \sim C_{20}$ アルキル、 $C_1 \sim C_{20}$ アルコキシ、アリール、ヘテロアリール、 $C_3 \sim C_{20}$ シクロアルキルまたは $C_1 \sim C_{20}$ ヘテロシクロアルキルである。例えば、 R_1 および R_2 の各々は、独立して、 $C_1 \sim C_{20}$ アルキル（例えば2-エチルヘキシル）である。

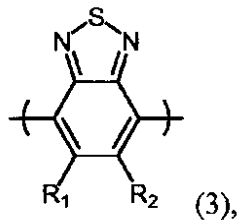
10

【0013】

一部の実施形態において、第3モノマー繰り返し単位は、式(3)のベンゾチアジアゾール部分を含む。

【0014】

【化3】



20

前記式中、 R_1 および R_2 の各々は、独立して、 H 、 $C_1 \sim C_{20}$ アルキル、 $C_1 \sim C_{20}$ アルコキシ、 $C_3 \sim C_{20}$ シクロアルキル、 $C_1 \sim C_{20}$ ヘテロシクロアルキル、アリール、ヘテロアリール、ハロ、 CN 、 OR 、 $C(O)R$ 、 $C(O)OR$ 、または SO_2R であり、 R は H 、 $C_1 \sim C_{20}$ アルキル、 $C_1 \sim C_{20}$ アルコキシ、アリール、ヘテロアリール、 $C_3 \sim C_{20}$ シクロアルキルまたは $C_1 \sim C_{20}$ ヘテロシクロアルキルである。例えば、 R_1 および R_2 の各々は H である。

30

【0015】

一部の実施形態において、前記物品は電子受容体材料をさらに含む。前記電子受容体材料としては、フラーレン、無機ナノ粒子、オキサジアゾール、ディスコティック液晶、炭素ナノロッド、無機ナノロッド、 CN 基を含有するポリマー、 CF_3 基を含有するポリマーおよびそれらの組み合わせのうちから選択される材料を挙げることができる。例えば、前記電子受容体材料としては、[6,6]-フェニルC61-酪酸メチルエステル(C61-PCBM)および[6,6]-フェニルC71-酪酸メチルエステル(C71-PCBM)のような置換フラーレンを挙げることができる。

40

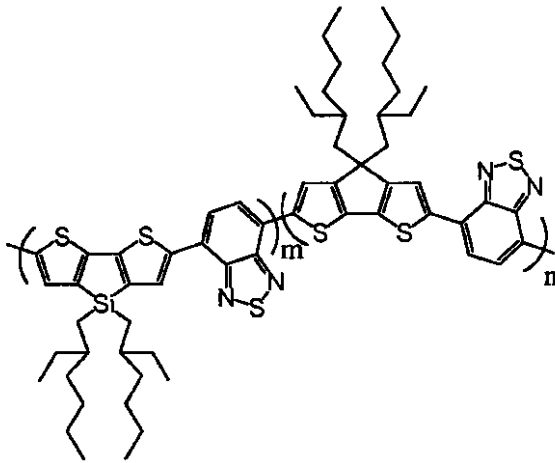
【0016】

一部の実施形態において、前記物品は、AM1.5の条件下で、少なくとも約4%（例えば少なくとも約5%）の効率を有する。

一部の実施形態において、前記ポリマーは、

【0017】

【化4】



10

であり得る。前記式中、 m および n の各々は独立して、1を超える整数である。

【0018】

一部の実施形態において、前記ポリマーは電子供与体材料または電子受容体材料のいずれかであり得る。

一部の実施形態において、前記光起電力セルはタンデム型光起電力セルであり得る。

20

【0019】

実施形態は、以下の利点の1つ以上を提供し得る。

理論によって縛られることを望むものではないが、光活性ポリマーにシラシクロペンタジチオフェン部分を組み込むことにより、ポリマーの可溶性および加工性、およびそのようなポリマーから調製された光活性層のモルフォロジーを著しく改善することができ、それにより光起電力セルの効率を増大させると考えられる。

【0020】

理論によって縛られることを望むものではないが、光活性ポリマーにシラシクロペンタジチオフェン部分を組み込むことにより、ポリマーの吸収波長を、ほとんどの他のポリマーによっては到達することができない電磁スペクトルの赤色および近赤外IR部（例えば650~900nm）に向かって偏移させることができると考えられる。そのようなコポリマーが光起電力セルに組み込まれると、該電池はスペクトルのこの領域の光を吸収することが可能となり、それにより該電池の電流および効率を増大させる。

30

【0021】

理論によって縛られることを望むものではないが、本願に記載された第1コモノマー繰り返し単位、第2コモノマー繰り返し単位、および第3コモノマー繰り返し単位を含有する光活性ポリマーを有する光起電力セルは、高い効率を有すると考えられる。一部の実施形態において、そのような光起電力セルは、AM1.5の条件下で、少なくとも約4%（例えば少なくとも約5%、または少なくとも約6%）の効率を有することができる。

【0022】

理論によって縛られることを望むものではないが、本願に記載された第1コモノマー繰り返し単位、第2コモノマー繰り返し単位、および第3コモノマー繰り返し単位を含有する光活性ポリマーは、有機溶媒（例えばクロロベンゼン）中における改善された可溶性を有し、第1コモノマー繰り返し単位および第3コモノマー繰り返し単位、または第2コモノマー繰り返し単位および第3コモノマー繰り返し単位のみを含有するポリマーよりも増大した充填率および光電流を有する有機光起電力セルを提供すると考えられる。

40

【0023】

理論によって縛られることを望むものではないが、本願に記載された光活性ポリマーの他の効果としては、光電流およびセル電圧を改善することができる適当なバンドギャップ（例えば1.4~1.6eV）、および光活性層における電荷分離を促進することができ

50

る高い正電荷移動性（例えば $10^{-4} \sim 10^{-1} \text{ cm}^2 / \text{Vs}$ ）を上げることができると考えられる。

【0024】

本発明の他の特徴および利点は、説明、図面および特許請求の範囲から明白になるであろう。

【図面の簡単な説明】

【0025】

【図1】光起電力セルの実施形態の断面図。

【図2】タンデム型光起電力セルの実施形態の断面図。

【図3】電氣的に直列に接続された多数の光起電力セルを含むシステムの概略図。

10

【図4】電氣的に並列に接続された多数の光起電力セルを含むシステムの概略図。

【発明を実施するための形態】

【0026】

様々な図面における同様の参照記号は類似の要素を示す。

図1は、基材110、電極120、任意の正孔ブロッキング層130、光活性層140（電子受容体材料および電子供与体材料を含有）、正孔キャリア層150、電極160および基材170を備えた光起電力セル100の断面図を示している。

【0027】

一般に、使用中において、光は基材110の表面に衝突し、基材110、電極120および任意の正孔ブロッキング層130を通過する。次いで、光は光活性層140と相互作用して、電子を電子供与体材料（例えば上述したポリマー）から電子受容体材料（例えばC61-PCBM）に移動させる。次いで、電子受容体材料は電子を正孔ブロッキング層130を介して電極120に伝達し、電子供与体材料は正孔を正孔キャリア層150を介して電極160に移動させる。電極120と電極160とは外部負荷によって電氣的に接続された状態にあり、その結果、電子は電極120から前記負荷を通過して電極160へと通過する。

20

【0028】

一部の実施形態において、電子供与体または受容体材料は1種以上のポリマー（例えばホモポリマーまたはコポリマー）を含有することができる。本願で述べるポリマーは、少なくとも2個の同一または異なるモノマー繰返し単位（例えば少なくとも5個のモノマー繰返し単位、少なくとも10個のモノマー繰返し単位、少なくとも50個のモノマー繰返し単位、少なくとも100個のモノマー繰返し単位、または少なくとも500個のモノマー繰返し単位）を含む。本願で述べるホモポリマーとは、1種類のみモノマー繰返し単位を含むポリマーを指す。本願で述べるコポリマーとは、異なる化学構造を有する少なくとも2個のコモノマー繰返し単位を含むポリマーを指す。前記ポリマーは光起電力活性であり得る。

30

【0029】

一部の実施形態において、電子供与体または受容体材料は、以下のコモノマー繰返し単位、すなわち、式(1)のシラシクロペンタジチオフエン部分、式(2)のシクロペンタジチオフエン部分、式(3)のベンゾチアゾール部分、式(4)のチアゾロキノキサリン部分、式(5)のシクロペンタジチオフエンジオキシド部分、式(6)のシクロペンタジチオフエンモノオキシド部分、式(7)のベンゾイソチアゾール部分、式(8)のベンゾチアゾール部分、式(9)のチオフエンジオキシド部分、式(10)のシクロペンタジチオフエンジオキシド部分、式(11)のシクロペンタジチオフエンテトラオキシド部分、式(12)のチエノチオフエン部分、式(13)のチエノチオフエンテトラオキシド部分、式(14)のジチエノチオフエン部分、式(15)のジチエノチオフエンジオキシド部分、式(16)のジチエノチオフエンテトラオキシド部分、式(17)のテトラヒドロイソインドール部分、式(18)のチエノチオフエンジオキシド部分、式(19)のジチエノチオフエンジオキシド部分、式(20)のフルオレン部分、式(21)のシロール部分、式(22)のフルオレノン部分、式(23)のチアゾール部分、式(24)

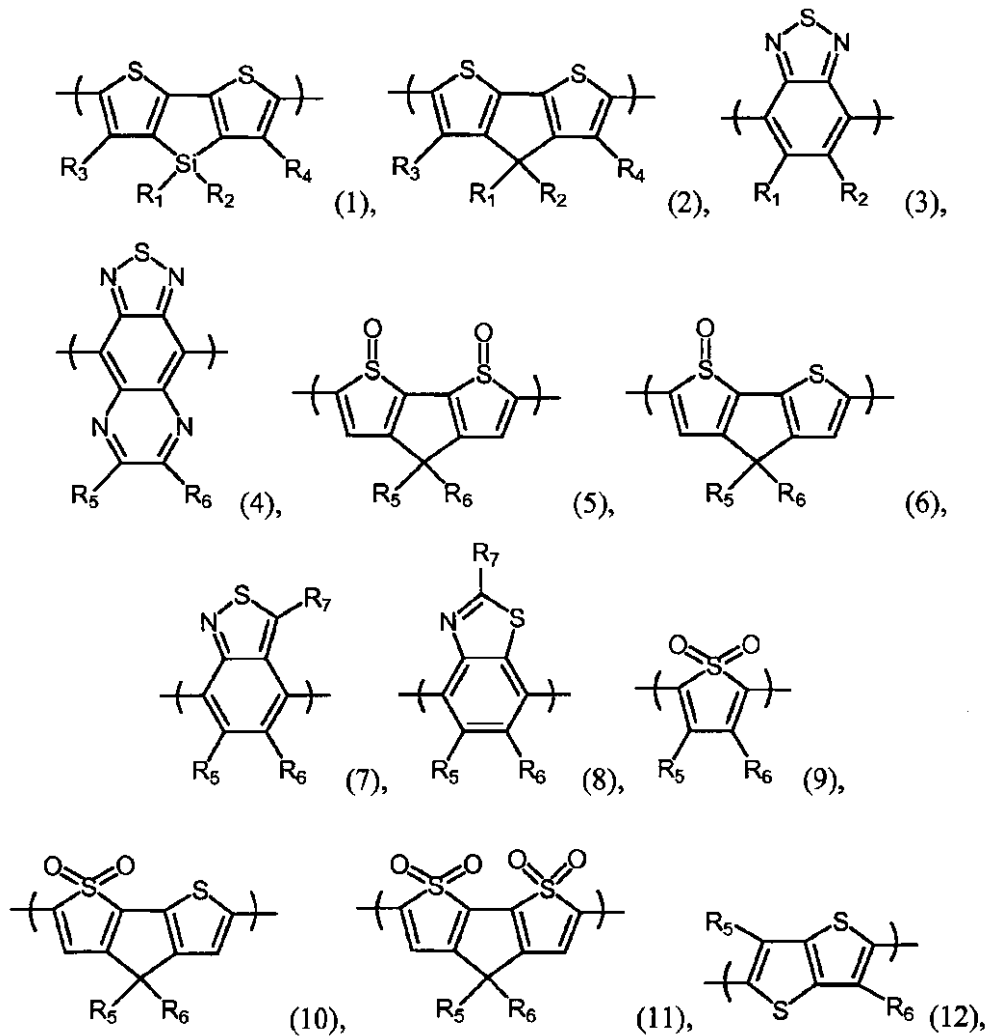
40

50

のセレノフェン部分、式(25)のチアゾロチアゾール(thiazolothiazole)部分、式(26)のシクロペンタジチアゾール部分、式(27)のナフトチアジアゾール部分、式(28)のチエノピラジン(thienopyrazine)部分、式(29)のオキサゾール部分、式(30)のイミダゾール部分、式(31)のピリミジン部分、式(32)のベンゾオキサゾール部分、式(33)のベンゾイミダゾール部分または式(34)のベンゾオキサジアゾール部分のうちの一つ以上を含むことができる。

【0030】

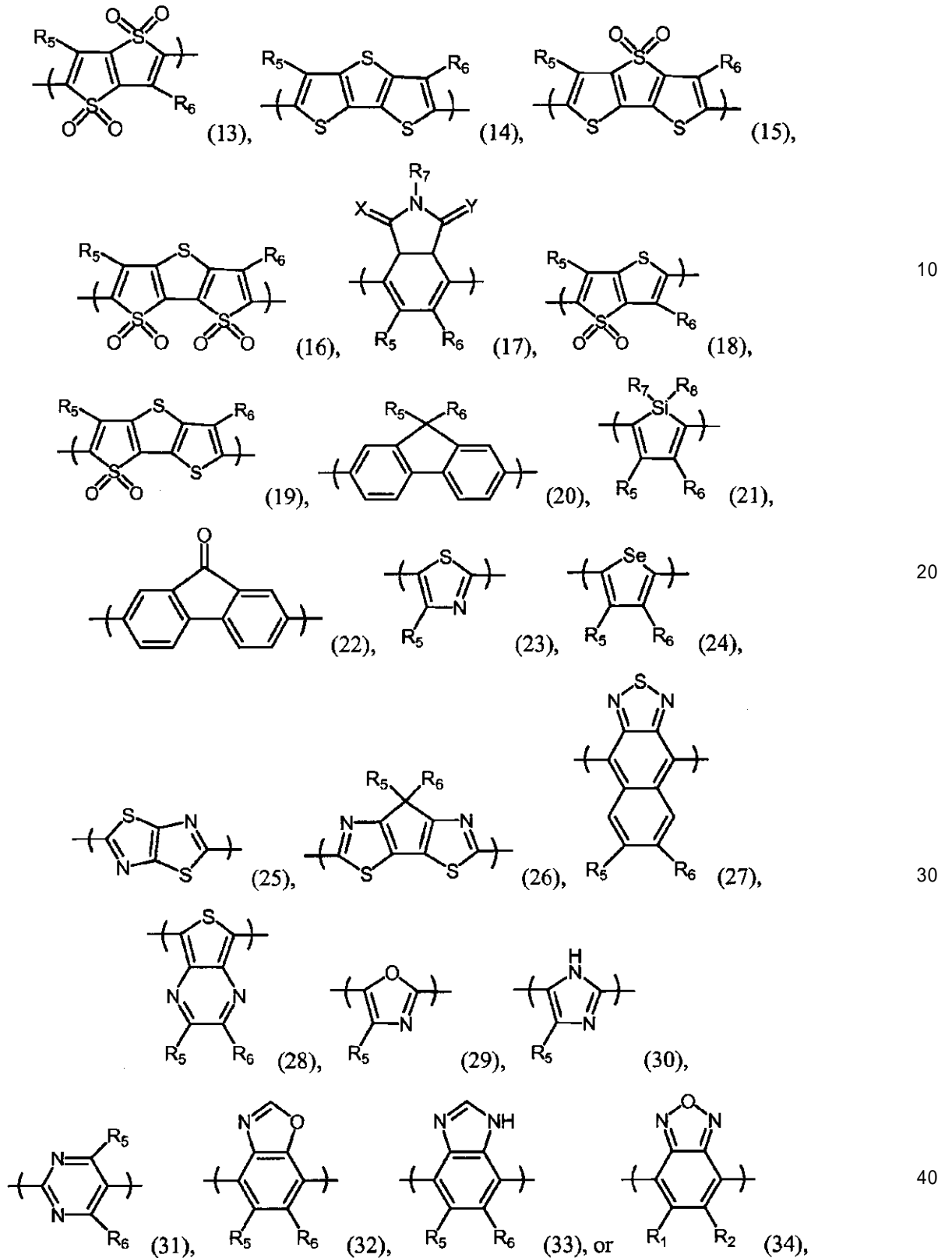
【化5】



10

20

30



上記の式において、XおよびYの各々は独立して、 CH_2 、OまたはSであり得、 R_1 、 R_2 、 R_3 、 R_4 、 R_5 、および R_6 の各々は独立して、H、 $\text{C}_1 \sim \text{C}_{20}$ アルキル、 $\text{C}_1 \sim \text{C}_{20}$ アルコキシ、 $\text{C}_3 \sim \text{C}_{20}$ シクロアルキル、 $\text{C}_1 \sim \text{C}_{20}$ ヘテロシクロアルキル、アリール、ヘテロアリール、ハロ、CN、OR、 $\text{C}(\text{O})\text{R}$ 、 $\text{C}(\text{O})\text{OR}$ 、または SO_2R であり得、ここで、Rは、H、 $\text{C}_1 \sim \text{C}_{20}$ アルキル、 $\text{C}_1 \sim \text{C}_{20}$ アルコキシ、アリール、ヘテロアリール、 $\text{C}_3 \sim \text{C}_{20}$ シクロアルキル、または $\text{C}_1 \sim \text{C}_{20}$ ヘテ

10

20

30

40

50

ロシクロアルキルであり、 R_7 および R_8 の各々は独立して、 H 、 $C_1 \sim C_{20}$ アルキル、 $C_1 \sim C_{20}$ アルコキシ、アリール、ヘテロアリール、 $C_3 \sim C_{20}$ シクロアルキルまたは $C_1 \sim C_{20}$ ヘテロシクロアルキルであり得る。

【0031】

アルキルは飽和していてもよいし、不飽和であってもよく、分岐していてもよいし、または直鎖であってもよい。 $C_1 \sim C_{20}$ アルキルは、1～20個の炭素原子（例えば1個、2個、3個、4個、5個、6個、7個、8個、9個、10個、11個、12個、13個、14個、15個、16個、17個、18個、19個および20個の炭素原子）を含有する。アルキル部分の例としては、 $-CH_3$ 、 $-CH_2-$ 、 $-CH_2=CH_2-$ 、 $-CH_2-CH=CH_2$ 、および分岐 $-C_3H_7$ が挙げられる。アルコキシは、分岐していてもよいし、または直鎖であってもよく、さらに飽和していてもよいし、または不飽和であってもよい。 $C_1 \sim C_{20}$ アルコキシは、酸素ラジカルと、1～20個の炭素原子（例えば1個、2個、3個、4個、5個、6個、7個、8個、9個、10個、11個、12個、13個、14個、15個、16個、17個、18個、19個および20個の炭素原子）とを含有する。アルコキシ部分の例としては、 $-OCH_3$ および $-OCH=CH-CH_3$ が挙げられる。シクロアルキルは飽和していてもよいし、あるいは不飽和であってもよい。 $C_3 \sim C_{20}$ シクロアルキルは、3～20個の炭素原子（例えば3個、4個、5個、6個、7個、8個、9個、10個、11個、12個、13個、14個、15個、16個、17個、18個、19個および20個の炭素原子）を含有する。シクロアルキル部分の例としてはシクロヘキシルおよびシクロヘキセン-3-イルが挙げられる。ヘテロシクロアルキルもまた飽和していてもよいし、あるいは不飽和であってもよい。 $C_1 \sim C_{20}$ ヘテロシクロアルキルは、少なくとも1つの環ヘテロ原子（例えばO、NおよびS）と、1～20の炭素原子（例えば1個、2個、3個、4個、5個、6個、7個、8個、9個、10個、11個、12個、13個、14個、15個、16個、17個、18個、19個および20個の炭素原子）とを含有する。ヘテロシクロアルキル部分の例としては、4-テトラヒドロピラニルおよび4-ピラニルが挙げられる。アリールは1つ以上の芳香環を含有することができる。アリール部分の例としては、フェニル、フェニレン、ナフチル、ナフチレン、ピレニル、アントリルおよびフェナントリルが挙げられる。ヘテロアリールは、1つ以上の芳香環を含有することができ、その芳香環の少なくとも1つは、少なくとも1つの環ヘテロ原子（例えばO、NおよびS）を含有する。ヘテロアリール部分の例としては、フリル、フリレン、フルオレニル、ピロリル、チエニル、オキサゾリル、イミダゾリル、チアゾリル、ピリジリル、ピリミジニル、キナゾリニル、キノリル、イソキノリルおよびインドリルが挙げられる。

【0032】

他に規定がない限り、本願で述べるアルキル、アルコキシ、シクロアルキル、ヘテロシクロアルキル、アリール、およびヘテロアリールは、置換部分および非置換部分の双方を含む。シクロアルキル、ヘテロシクロアルキル、アリールおよびヘテロアリール上の置換基の例としては、 $C_1 \sim C_{20}$ アルキル、 $C_3 \sim C_{20}$ シクロアルキル、 $C_1 \sim C_{20}$ アルコキシ、アリール、アリールオキシ、ヘテロアリール、ヘテロアリールオキシ、アミノ、 $C_1 \sim C_{10}$ アルキルアミノ、 $C_1 \sim C_{20}$ ジアルキルアミノ、アリールアミノ、ジアリールアミノ、ヒドロキシル、ハロゲン、チオ、 $C_1 \sim C_{10}$ アルキルチオ、アリールチオ、 $C_1 \sim C_{10}$ アルキルスルホニル、アリールスルホニル、シアノ、ニトロ、アシル、アシルオキシ、カルボキシルおよびカルボン酸エステルが挙げられる。アルキル上の置換基の例としては、 $C_1 \sim C_{20}$ アルキル以外の上述した置換基のすべてが挙げられる。シクロアルキル、ヘテロシクロアルキル、アリールおよびヘテロアリールはまた縮合基(fused groups)を含む。

【0033】

一部の実施形態において、電子供与体または受容体材料は、第1モノマー繰り返し単位、第2モノマー繰り返し単位、および第3モノマー繰り返し単位を含むコポリマーであり得、第1モノマー繰り返し単位はシラシクロペンタジチオフェン部分を含み、第

10

20

30

40

50

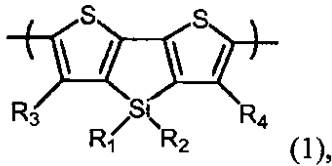
2 コモノマー繰り返し単位はシクロペンタジチオフエン部分を含み、第3 コモノマー繰り返し単位はベンゾチアジアゾール部分を含む。

【0034】

一部の実施形態において、第1 コモノマー繰り返し単位は、式(1)のシラシクロペンタジチオフエン部分を含む。

【0035】

【化6】



10

前記式中、 R_1 、 R_2 、 R_3 、および R_4 の各々は、独立して、H、 $C_1 \sim C_{20}$ アルキル、 $C_1 \sim C_{20}$ アルコキシ、 $C_3 \sim C_{20}$ シクロアルキル、 $C_1 \sim C_{20}$ ヘテロシクロアルキル、アリール、ヘテロアリール、ハロ、CN、OR、 $C(O)R$ 、 $C(O)OR$ 、または SO_2R であり得、RはH、 $C_1 \sim C_{20}$ アルキル、 $C_1 \sim C_{20}$ アルコキシ、アリール、ヘテロアリール、 $C_3 \sim C_{20}$ シクロアルキルまたは $C_1 \sim C_{20}$ ヘテロシクロアルキルである。特定の実施形態では、 R_1 および R_2 の各々は独立して、 $C_1 \sim C_2$

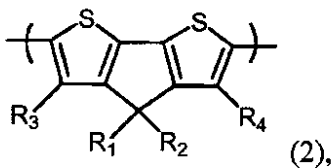
20

【0036】

一部の実施形態において、第2 コモノマー繰り返し単位は、式(2)のシクロペンタジチオフエン部分を含む。

【0037】

【化7】



30

前記式中、 R_1 、 R_2 、 R_3 、および R_4 の各々は、独立して、H、 $C_1 \sim C_{20}$ アルキル、 $C_1 \sim C_{20}$ アルコキシ、 $C_3 \sim C_{20}$ シクロアルキル、 $C_1 \sim C_{20}$ ヘテロシクロアルキル、アリール、ヘテロアリール、ハロ、CN、OR、 $C(O)R$ 、 $C(O)OR$ 、または SO_2R であり得、RはH、 $C_1 \sim C_{20}$ アルキル、 $C_1 \sim C_{20}$ アルコキシ、アリール、ヘテロアリール、 $C_3 \sim C_{20}$ シクロアルキルまたは $C_1 \sim C_{20}$ ヘテロシクロアルキルである。特定の実施形態では、 R_1 および R_2 の各々は独立して、 $C_1 \sim C_2$

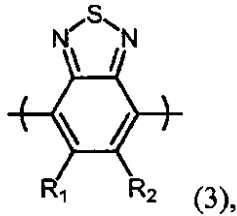
40

【0038】

一部の実施形態において、第3 コモノマー繰り返し単位は、式(3)のベンゾチアジアゾール部分を含む。

【0039】

【化 8】



前記式中、 R_1 および R_2 の各々は独立して、 H 、 $C_1 \sim C_{20}$ アルキル、 $C_1 \sim C_{20}$ アルコキシ、 $C_3 \sim C_{20}$ シクロアルキル、 $C_1 \sim C_{20}$ ヘテロシクロアルキル、アリーール、ヘテロアリーール、ハロ、 CN 、 OR 、 $C(O)R$ 、 $C(O)OR$ 、または SO_2R であり得、 R は H 、 $C_1 \sim C_{20}$ アルキル、 $C_1 \sim C_{20}$ アルコキシ、アリーール、ヘテロアリーール、 $C_3 \sim C_{20}$ シクロアルキルまたは $C_1 \sim C_{20}$ ヘテロシクロアルキルである。特定の実施形態において、 R_1 および R_2 の各々は H である。

【0040】

理論によって縛られることを望むものではないが、光活性ポリマーに式(1)のシラシクロペンタジチオフェン部分を組み込むことにより、ポリマーの可溶性および加工性、およびそのようなポリマーから調製された光活性層のモルフォロジーを著しく改善することができ、それにより光起電力セルの効率を増大させると考えられる。さらに、理論によつて縛られることを望むものではないが、光活性ポリマーにシラシクロペンタジチオフェン部分を組み込むことにより、ポリマーの吸収波長を、ほとんどの他のポリマーによっては到達することができない電磁スペクトルの赤色および近赤外(IR)部(例えば650~900nm)に向かって偏移させることができると考えられる。そのようなコポリマーが光起電力セルに組み込まれると、該電池はスペクトルのこの領域の光を吸収することが可能となり、それにより該電池の電流および効率を増大させる。例えば、式(2)および式(3)のコモノマー繰返し単位を有する光活性ポリマーを、式(1)、(2)、および(3)のコモノマー繰返し単位を有する光活性ポリマーと置き換えることにより、AM1.5の条件下で、光起電力セルの効率を約3%から約5%に増大させることができる。

【0041】

一般に、ポリマー中のコモノマー繰返し単位の分子比は所望により変えることができる。一部の実施形態において、第1第2コモノマー繰返し単位と第2コモノマー繰返し単位との分子比は、少なくとも約1:1(例えば、少なくとも約2:1、少なくとも約3:1、または少なくとも4:1)であり、かつ/または多くとも約10:1(例えば、多くとも約5:1、多くとも約4:1、多くとも約3:1、または多くとも約2:1)である。理論によって縛られることを望むものではないが、第1コモノマー繰返し単位と第2コモノマー繰返し単位との分子比が約5:1より高い場合には、結果として生じたポリマーを基材上でコーティングを形成するように加工することが困難である可能性があり、これは光活性ポリマーのモルフォロジーに悪影響を与え、光起電力セルの効率を低下させ得ると考えられる。さらに理論によつて縛られることを望むものではないが、第1コモノマー繰返し単位と第2コモノマー繰返し単位との分子比が約1:1約未満である場合には、そのようなポリマーを含有する光起電力セルは、稼働の間に十分な効率を有さないことがあると考えられる。

【0042】

光活性層140に用いることができる例示的なポリマーは、

【0043】

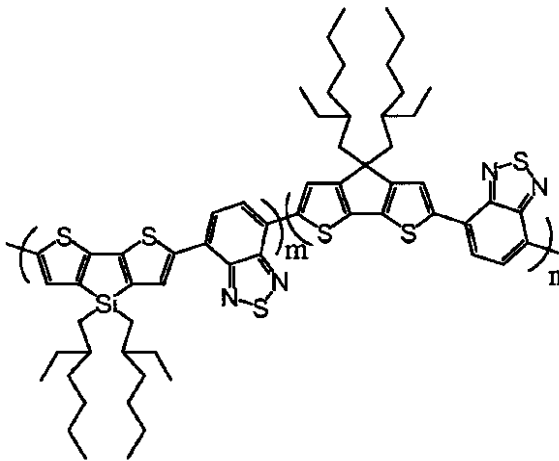
10

20

30

40

【化9】



10

である。前記式中、 m および n の各々は独立して、1を超える整数（例えば2、3、5、10、20あるいは100）である。このポリマーは優れた加工性（例えば溶液コーティング工程において）を有することができ、AM1.5の条件下で、少なくとも約5%の効率を有する光起電力セルを調製するために用いることができる。前記ポリマーは以下の実施例1～実施例3に記載する方法によって調製することができる。

20

【0044】

理論によって縛られることを望むものではないが、上述した第1コモノマー繰り返し単位、第2コモノマー繰り返し単位、および第3コモノマー繰り返し単位を含有する光活性ポリマーを有する光起電力セルは、高い効率を有し得ると考えられる。一部の実施形態において、そのような光起電力セルは、AM1.5の条件下で、少なくとも約4%（例えば少なくとも約5%、または少なくとも6%）の効率を有することができる。さらに理論によって縛られることを望むものではないが、上述したポリマーのその他の効果としては、光電流およびセル電圧を改善することができる適当なバンドギャップ（例えば1.4 - 1.6 eV）、光活性層140における電荷分離を促進することができる高い正電荷移動性（例えば $10^{-4} \sim 10^{-1} \text{ cm}^2 / \text{Vs}$ ）、および皮膜形成能および加工性を改善

30

【0045】

上述したポリマーは当業において既知の方法によって調製することができる。例えば、コポリマーは、遷移金属触媒の存在下における、2つの有機金属基（例えばアルキルスタンニル基、グリニャール基またはアルキル亜鉛基）を含有する1つ以上のコモノマーと、2つのハロ基（例えばCl、BrまたはI）を含有する1つ以上のコモノマーとの間のクロスカップリング反応によって調製することができる。別の実施例として、コポリマーは、遷移金属触媒の存在下における、2つのホウ酸基(borate groups)を含有する1つ以上のコモノマーと、2つのハロ基（例えばCl、BrまたはI）を含有する1つ以上のコモ

40

【0046】

前記コモノマーは、本願に記載する方法、または米国特許出願第11/486,536号、コッポ(Coppo)ら、Macromolecules 2003年、第36巻、第2705～2711頁、およびカート(Kurt)ら、J. Heterocycl. Chem.、1970年、第6巻、第629頁に記載されているもののような当業において知られている方法によって調製することができる。前記文献の全容は、参照により、本願に援用される。前記コモノマーは、非芳香族性二

50

重結合および1つ以上の不斉中心を含有することができる。したがって、それらは、ラセミ化合物およびラセミ混合物、単一エナンチオマー、個々のジアステレオマー、ジアステレオマー混合物、およびシス-またはトランス-異性体として生じ得る。全てのそのような異性体が企図される。

【0047】

一部の実施形態において、光活性層140の電子受容体材料はフラーレンを含有し得る。一部の実施形態において、光活性層140は1つ以上の非置換フラーレンおよび/または1つ以上の置換フラーレンを含有し得る。非置換フラーレンの例としては、 C_{60} 、 C_{70} 、 C_{76} 、 C_{78} 、 C_{82} 、 C_{84} および C_{92} が挙げられる。置換フラーレンの例としては、PCBM、または、任意で $C_1 \sim C_{20}$ アルコキシおよび/またはハロゲンによってさらに置換された $C_1 \sim C_{20}$ アルコキシ(例えば $(OCH_2CH_2)_2OCH_3$ または $OCH_2CF_2OCF_2CF_2OCF_3$)で置換されたフラーレンが挙げられる。理論によって縛られることを望むものではないが、長鎖アルコキシ基(例えばエチレンオキシドオリゴマー(oligomeric ethylene oxide)またはフッ素化アルコキシ基で置換されたフラーレンは、有機溶媒中における改善された可溶性を有し、改善されたモルフォロジーを備えた光活性層を形成することができると考えられる。一部の実施形態において、電子受容体材料は、上述したポリマーの1つ以上を含有し得る。特定の実施形態では、電子受容体材料の組み合わせを光活性層140に用いることができる。

10

【0048】

光起電力セル100の他の構成要素に移ると、基材110は、一般に透明材料から形成されている。本願で述べる場合、透明材料とは、光起電力セル100に使用される厚さにおいて、光起電力セルの稼働の間に用いられる一定の波長または一定範囲の波長の入射光の少なくとも約60%(例えば、少なくとも約70%、少なくとも約75%、少なくとも約80%、少なくとも約85%)を透過する材料である。基材110を形成することができる例示的な材料としては、ポリエチレンテレフタレート、ポリイミド、ポリエチレンナフタレート、高分子炭化水素、セルロースポリマー、ポリカーボネート、ポリアミド、ポリエーテルおよびポリエーテルケトンが挙げられる。特定の実施形態において、ポリマーはフッ素化ポリマーであり得る。一部の実施形態において、ポリマー材料の組み合わせが用いられる。特定の実施形態において、基材110の異なる領域は、異なる材料から形成され得る。

20

30

【0049】

一般に、基材110は可撓性であってもよいし、半硬質(semi-rigid)であってもよいし、または硬質(rigid)(例えばガラス)であってもよい。一部の実施形態において、基材110は、約5,000メガパスカル未満(例えば約1,000メガパスカル未満、約500メガパスカル未満)の曲弾性率を有する。特定の実施形態において、基材110の異なる領域が、可撓性、半硬質、または不撓性であり得る(例えば、1つ以上の可撓性の領域および1つ以上の半硬質の異なる領域、1つ以上の可撓性の領域および1つ以上の不撓性の異なる領域)。

【0050】

典型的には、基材110は、少なくとも約1ミクロン(例えば少なくとも約5ミクロン、少なくとも約10ミクロン)の厚さであり、かつ/または、多くとも約1,000ミクロン(例えば、多くとも約500ミクロン厚、多くとも約300ミクロン厚、多くとも約200ミクロン厚、多くとも約100ミクロン、多くとも約50ミクロン)の厚さである。

40

【0051】

一般に、基材110は着色されていてもよいし、無着色であってもよい。一部の実施形態において、基材110の1つ以上の部分は着色されており、基材110の1つ以上の異なる部分は無着色である。

【0052】

基材110は、1つの平面(例えば、光が衝突する表面)、または2つの平面(例えば

50

、光が衝突する表面および対向面)を有してもよいし、あるいは平面を有さなくてもよい。基材110の非平面は、例えば湾曲しているか、または段を有し得る。一部の実施形態において、基材110の非平面はパターン形成されている(例えば、フレネルレンズ、レンチキュラーレンズまたはレンズ状プリズムを形成するパターン形成された段を有する)。

【0053】

電極120は、一般に導電性材料から形成されている。例示的な導電性材料としては、導電性金属、導電性合金、導電性ポリマーおよび導電性金属酸化物が挙げられる。例示的な導電性金属としては、金、銀、銅、アルミニウム、ニッケル、パラジウム、白金およびチタンが挙げられる。例示的な導電性合金としては、ステンレス鋼(例えば332ステンレス鋼、316ステンレス鋼)、金の合金、銀の合金、銅の合金、アルミニウムの合金、ニッケルの合金、パラジウムの合金、白金の合金、およびチタンの合金が挙げられる。例示的な導電性ポリマーとしては、ポリチオフェン(例えばドーブしたポリ(3,4-エチレンジオキシチオフェン)(ドーブしたPEDOT)、ポリアニリン(例えばドーブしたポリアニリン)、ポリピロール(例えばドーブしたポリピロール)が挙げられる。例示的な導電性金属酸化物としては、インジウムスズ酸化物、フッ素添加酸化スズ(fluorinated tin oxide)、酸化スズおよび酸化亜鉛が挙げられる。一部の実施形態において、導電性材料の組み合わせが用いられる。

10

【0054】

一部の実施形態において、電極120はメッシュ電極を備えることができる。メッシュ電極の例は、同時係属中の米国特許出願公開公報第20040187911号および同第20060090791号に記載されている。前記特許文献の全容は、参照により本願に援用される。

20

【0055】

一部の実施形態において、上述した材料の組み合わせを電極120に使用することができる。

任意で、光起電力セル100は正孔ブロッキング層130を備えることができる。正孔ブロッキング層は、一般に、光起電力セル100に使用される厚さにおいて、電極120に電子を輸送し、かつ電極120への正孔の輸送を実質的に妨げる材料から形成されている。正孔ブロッキング層を形成することができる材料の例としては、LiF、金属酸化物(例えば、酸化亜鉛、酸化チタン)およびアミン(例えば、第一アミン、第二アミン、または第三アミン)が挙げられ得る。正孔ブロッキング層に使用するのに適したアミンの例は、例えば、同時係属中の米国特許仮出願第60/926,459号に記載されている。前記特許文献の全容は、参照により、本願に援用される。

30

【0056】

理論によって縛られることを望むものではないが、光起電力セル100がアミンから形成された正孔ブロッキング層を備えている場合、その正孔ブロッキング層は、UV光に曝露されなくても、光活性層140と電極120との間のオーム接触の形成を容易にすることができる。それにより紫外線曝露から生じる光起電力セル100への損傷を低減することができる。

40

【0057】

典型的には、正孔ブロッキング層130は、少なくとも0.02ミクロン(例えば、少なくとも約0.03ミクロン、少なくとも約0.04ミクロン、少なくとも約0.05ミクロン)の厚さであり、かつ/または多くとも約0.5ミクロン(例えば、多くとも約0.4ミクロン、多くとも約0.3ミクロン、多くとも約0.2ミクロン、多くとも約0.1ミクロン)の厚さである。

【0058】

正孔キャリア層150は、一般に、光起電力セル100に使用される厚さにおいて、電極160に正孔を輸送し、かつ電極160への電子の輸送を実質的に妨げる材料から形成されている。層130を形成することができる材料の例としては、ポリチオフェン(例え

50

ばPEDOT)、ポリアニリン、ポリカルバゾール、ポリビニルカルバゾール、ポリフェニレン、ポリフェニルピニレン、ポリシラン、ポリチエニレンピニレン、ポリイソチアナフタネン(polyisothianaphthanes)およびそれらのコポリマーが挙げられる。一部の実施形態において、正孔キャリア層150は、半導体高分子と組み合わせて用いられるドーパントを含み得る。ドーパントの例としては、ポリ(スチレンスルホネート)、高分子スルホン酸(polymeric sulfonic acids)またはフッ素化ポリマー(例えばフッ素化イオン交換ポリマー)が挙げられる。

【0059】

一部の実施形態において、正孔キャリア層150を形成するために用いることができる材料としては、酸化チタン、酸化亜鉛、酸化タングステン、酸化モリブデン、酸化銅、ストロンチウム銅酸化物またはストロンチウムチタン酸化物のような金属酸化物が挙げられる。金属酸化物は、未ドーブであってもよいし、またはドーパントでドーブされていてもよい。金属酸化物用ドーパントの例としては、フッ化物、塩化物、臭化物およびヨウ化物の塩または酸が挙げられる。

10

【0060】

一部の実施形態において、正孔キャリア層150を形成するために用いることができる材料として、炭素同素体(例えばカーボンナノチューブ)が挙げられる。炭素同素体はポリマーバインダーに埋め込むことができる。

【0061】

一部の実施形態において、正孔キャリア材料は、ナノ粒子の形態にあり得る。ナノ粒子は、球形、円柱状、または棒状の形状のような任意の適当な形状を有し得る。

20

一部の実施形態において、正孔キャリア層150は、上述した正孔キャリア材料の組み合わせを含有し得る。

【0062】

一般に、正孔キャリア層150の厚さ(すなわち光活性層140に接触する正孔キャリア層150の表面と、正孔キャリア層150に接触する電極160の表面との間の距離)は所望のように変更することができる。典型的には、正孔キャリア層150の厚さは、少なくとも0.01ミクロン(例えば、少なくとも約0.05ミクロン、少なくとも約0.1ミクロン、少なくとも約0.2ミクロン、少なくとも約0.3ミクロン、または少なくとも約0.5ミクロン)であり、かつ/または多くとも約5ミクロン(例えば、多くとも約3ミクロン、多くとも約2ミクロンまたは多くとも約1ミクロン)である。一部の実施形態において、正孔キャリア層150の厚さは約0.01ミクロン~約0.5ミクロンである。

30

【0063】

電極160は、一般に、上述した導電性材料のうちの1つ以上のような導電性材料から形成されている。一部の実施形態において、電極160は導電性材料の組み合わせから形成されている。特定の実施形態において、電極160はメッシュ電極から形成され得る。

【0064】

基材170は、基材110と同一であってもよいし、または基材110とは異なってもよい。一部の実施形態において、基材170は、上記に記載された基材110に用いられるポリマーのような1つ以上の適当なポリマーから形成され得る。

40

【0065】

一部の実施形態において、上述したポリマーは、2つの光起電力セルがコモン電極を共有する系において、電子供与体材料または電気受容体材料として用いることができる。そのような系はまたタンデム型光起電力セルとしても知られている。図2は、2つのセミセル(semi-cells)202, 204を有するタンデム型光起電力セル200を示している。セミセル202は、電極220、任意の正孔プロッキング層230、第1光活性層240、および再結合層242を備える。セミセル204は、再結合層242、第2光活性層244、正孔キャリア層250および電極260を備える。光起電力セル200には、電極220, 260を介して、外部負荷が接続されている。

50

【0066】

生産工程および所望の装置構造によって、セミセルにおける電流フローは、特定の層の電子/正孔伝導性を変更する(例えば正孔ブロッキング層230を正孔キャリア層に変える)ことによって逆転させることができる。そうすることによって、タンデムセルは、タンデムセル内のセミセルが電氣的に直列または並列のいずれかに相互接続することができるように設計され得る。

【0067】

再結合層とは、第1セミセルから発生した電子が第2セミセルから生成された正孔と再結合する、タンデムセル内の層を指す。再結合層242は典型的にはp型半導体材料およびn型半導体材料を含む。一般に、n型半導体材料は電子を選択的に輸送し、p型半導体材料は正孔を選択的に輸送する。結果として、第1セミセルから生成された電子はn型半導体材料とp型半導体材料との界面において第2セミセルから生成された正孔と再結合する。

10

【0068】

一部の実施形態において、p型半導体材料はポリマーおよび/または金属酸化物を含む。p型半導体ポリマーの例としては、ポリチオフェン(例えば、ポリ(3,4-エチレンジオキシチオフェン)(PEDOT))、ポリアニリン、ポリビニルカルバゾール、ポリフェニレン、ポリフェニルピニレン、ポリシラン、ポリチエニレンピニレン、ポリイソチアナフタネン(polyisothianaphthenes)、ポリシクロペンタジチオフェン、ポリシラシクロペンタジチオフェン、ポリシクロペンタジチアゾール(polycyclopentadithiazoles)、ポリチアゾロチアゾール、ポリチアゾール、ポリベンゾチアアゾール、ポリ(チオフェンオキシド)、ポリ(シクロペンタジチオフェンオキシド)、ポリチアアゾロキノキサリン、ポリベンゾイソチアゾール、ポリベンゾチアゾール、ポリチエノチオフェン、ポリ(チエノチオフェンオキシド)、ポリジチエノチオフェン、ポリ(ジチエノチオフェンオキシド)、ポリテトラヒドロイソインドール(polytetrahydroisindoles)、およびそれらのコポリマーが挙げられる。金属酸化物は、真性p型半導体(例えば、酸化銅、ストロンチウム銅酸化物またはストロンチウムチタン酸化物)、またはドーパントでドーブした後にp型半導体を形成する金属酸化物(例えば、p-ドーブした酸化亜鉛またはp-ドーブした酸化チタン)であり得る。ドーパントの例としては、フッ化物、塩化物、臭化物およびヨウ化物の塩または酸が挙げられる。一部の実施形態において、金属酸化物は、ナノ粒子の形で用いることができる。

20

30

【0069】

一部の実施形態において、n型半導体材料(真性導体材料またはドーブしたn型半導体材料のいずれか)は、酸化チタン、酸化亜鉛、酸化タングステン、酸化モリブデンおよびそれらの組み合わせのような金属酸化物を含む。金属酸化物は、ナノ粒子の形で用いることができる。他の実施形態では、n型半導体材料としては、フラーレン、無機ナノ粒子、オキサジアゾール、ディスコティック液晶、炭素ナノロッド、無機ナノロッド、CN基を含有するポリマー、CF₃基を含有するポリマーおよびそれらの組み合わせのうちから選択される材料が挙げられる。

【0070】

一部の実施形態では、p型半導体材料とn型半導体材料とが1つの層内に混合されている。特定の実施形態では、再結合層242は2つの層を備え、一方の層はp型半導体材料を含有し、他方の層はn型半導体材料を含有する。そのような実施形態では、再結合層242は、2つの層の界面においてn型半導体材料とp型半導体材料とが混合した層を含むことができる。

40

【0071】

一部の実施形態において、再結合層242は、少なくとも約30重量%(例えば少なくとも約40重量%、または少なくとも約50重量%)、かつ/または多くとも約70重量%(例えば多くとも約60重量%、または多くとも約50重量%)のp型半導体材料を含有する。一部の実施形態において、再結合層242は、少なくとも約30重量%(例えば

50

少なくとも約40重量%、または少なくとも約50重量%)、かつ/または多くとも約70重量%(例えば多くとも約60重量%、または多くとも約50重量%)のn型半導体材料を含有する。

【0072】

再結合層242は一般に、下の位置する層が再結合層242上に施される任意の溶媒から保護されるように、十分な厚さを有する。一部の実施形態において、再結合層242は、少なくとも約10nm(例えば少なくとも約20nm、少なくとも約50nm、または少なくとも約100nm)の厚さを有し、かつ/または、多くとも約500nm(例えば、多くとも約200nm、多くとも約150nm、または多くとも約100nm)の厚さを有することができる。

10

【0073】

一般に、再結合層242は実質的に透明である。例えば、タンデム型光起電力セル200に用いられる厚さにおいて、再結合層242は、光起電力セルの稼働の間に用いられる一定波長または一定範囲の波長(例えば約350nm~約1,000nmまで)の入射光の少なくとも約70%(例えば少なくとも約75%、少なくとも約80%、少なくとも約85%、または少なくとも約90%)を透過させることができる。

【0074】

再結合層242は一般に十分に低い表面抵抗を有する。一部の実施形態において、再結合層242は、多くとも約 1×10^6 オーム/スクエア(例えば多くとも約 5×10^5 オーム/スクエア、多くとも約 2×10^5 オーム/スクエアまたは多くとも約 1×10^5 オーム/スクエア)の表面抵抗を有する。

20

【0075】

理論によって縛られることを望むものではないが、再結合層242は、光起電力セル200において、2つのセミセル(例えば一方は電極220、正孔ブロッキング層230、光活性層240および再結合層242を備え、他方は、再結合層242、光活性層244、正孔キャリア層250および電極260を備える)の間のコモン電極と見なすことができると考えられる。一部の実施形態において、再結合層242は、上述したもののような導電性格子(例えばメッシュ)材料を含むことができる。導電性格子材料は、セミセルに同一の極性(p型またはn型のいずれか)の選択的な接触を提供し、負荷に電子を輸送する高度に伝導性だが透明な層を提供することができる。

30

【0076】

一部の実施形態において、再結合層242は、光活性層上にn型半導体材料とp型半導体材料との混和物を塗布することにより調製され得る。例えば、n型半導体およびp型半導体は、まず、共に溶媒中に分散および/または溶解されて分散液または溶液を形成し、次にその分散液または溶液を光活性層上にコーティングして再結合層を形成する。

【0077】

一部の実施形態において、二層再結合層はn型半導体材料の層と、p型半導体材料の層とを別々に塗布することにより調製することができる。例えば、酸化チタンナノ粒子がn型半導体材料として用いられる場合、酸化チタンナノ粒子の層は、(1)前駆体(例えばチタン塩)を溶媒(例えば無水アルコール)中に分散させることにより分散液を形成し、(2)その分散液を光活性層上にコーティングし、(3)前記分散液を加水分解して酸化チタン層を形成し、(4)その酸化チタン層を乾燥させることによって形成することができる。別の例として、ポリマー(例えばPEDOT)がp型半導体として用いられる場合には、ポリマー層は、まずポリマーを溶媒(例えば無水アルコール)中に溶解させて溶液を形成し、次にその溶液を光活性層上にコーティングすることによって形成することができる。

40

【0078】

タンデムセル200の他の構成要素は、上述した光起電力セル100におけるものと同じ材料から形成されているか、または同一の特性を有し得る。タンデム型光起電力セルの他の例は、例えば、同一所有者の同時係属中の米国特許出願公開公報第2007-01

50

81179号および同第2007-0246094号に記載されている。前記特許文献の全容は、参照により、本願に援用される。

【0079】

一部の実施形態において、タンデムセルのセミセルは、電氣的に直列に相互接続される。直列に接続される場合、一般に、層は図2に示す順序になり得る。特定の実施形態において、タンデムセルのセミセルは、電氣的に並列に相互接続される。並列に相互接続される場合、2つのセミセルを有するタンデムセルは以下の層、すなわち、第1電極、第1正孔ブロッキング層、第1光活性層、第1正孔キャリア層（電極として作用し得る）、第2正孔キャリア層（電極として作用し得る）、第2光活性層、第2正孔ブロッキング層および第2電極を備えることができる。そのような実施形態において、第1正孔キャリア層および第2正孔キャリア層は、2つの独立した層または1つの単層のいずれであってもよい。第1正孔キャリア層および第2正孔キャリア層の伝導性が十分でない場合には、必要な伝導性を提供する付加的な層（例えば導電性メッシュ層）が挿入されてもよい。

10

【0080】

一部の実施形態において、タンデムセルは、2個を超えるセミセル（例えば3個、4個、5個、6個、7個、8個、9個、10個またはより多くのセミセル）を備え得る。特定の実施形態において、いくつかのセミセルは電氣的に直列に相互接続され、かつ、いくつかのセミセルは電氣的に並列に相互に接続され得る。

【0081】

一般に、図1および図2に記載された光起電力セルの各層を調製する方法は所望により変更することができる。一部の実施形態では、液体に基づいたコーティング工程によって層を調製することができる。特定の実施形態では、化学気相蒸着法または物理気相蒸着法のような気相に基づいたコーティング工程によって層を調製することができる。

20

【0082】

本願に述べる「液体に基づいたコーティング工程」という用語は、液体に基づいたコーティング組成物を用いた工程を指す。液体に基づいたコーティング組成物の例としては、溶液、分散液、または懸濁液が挙げられる。液体に基づいたコーティング工程は、下記の工程、すなわち、溶液コーティング、インクジェット印刷、スピンコーティング、浸漬被覆、ナイフコーティング、パーコーティング、スプレーコーティング、ローラーコーティング、スロットコーティング、グラビアコーティング、フレキソ印刷またはスクリーン印刷のうちの少なくとも1つを用いることにより行なうことができる。液体に基づいたコーティング工程の例は、例えば同一人所有である（commonly-owned）同時係属中の米国特許出願公開公報第2008-0006324号に記載されている。前記特許文献の全容は、参照により、本願に援用される。

30

【0083】

一部の実施形態において、層が無機半導体ナノ粒子を含有する場合、液体に基づいたコーティング工程は、（1）ナノ粒子を溶媒（例えば水性溶媒または無水アルコール）と混合して分散液を形成し、（2）その分散液を基材上にコーティングし、（3）コーティングした分散液を乾燥させることによって実施することができる。特定の実施形態において、無機金属酸化物ナノ粒子を含有する層を調製するための液体に基づいたコーティング工程は、（1）前駆体（例えばチタン塩）を適当な溶媒（例えば無水アルコール）中に分散させて分散液を形成し、（2）その分散液を基材上にコーティングし、（3）前記分散液を加水分解して、無機半導体ナノ粒子層（例えば酸化チタンナノ粒子層）を形成し、（4）無機半導体材料層を乾燥させることによって実施することができる。特定の実施形態において、液体に基づいたコーティング工程は、ゾルゲル法によって（例えば、金属酸化物ナノ粒子を分散液中でゾルゲルとして形成した後に、その分散液を基材上にコーティングすることにより）実施することができる。

40

一般に、有機半導体材料を含有する層を調製するために用いられる液体に基づいたコーティング工程は、無機半導体材料を含有する層を調製するために用いられる方法と同一であってもよいし、異なってもよい。一部の実施形態において、層が有機半導体材料を

50

含有する場合、液体に基づいたコーティング工程は、有機半導体材料を溶媒（例えば有機溶媒）と混合して溶液または分散液を形成し、前記溶液または分散液を基材上にコーティングし、コーティングした溶液または分散液を乾燥させることによって、実施することができる。

【 0 0 8 4 】

一部の実施形態において、図 1 および図 2 に記載された光起電力セルは、ロールツーロール法のような連続製造プロセスで調製することができ、それにより製造原価を著しく低減する。ロールツーロール法の例は、例えば同一人所有である同時係属中の米国特許出願公開公報第 2 0 0 5 - 0 2 6 3 1 7 9 号に記載されている。前記特許文献の全容は、参照により、本願に援用される。

10

【 0 0 8 5 】

特定の実施形態について開示してきたが、他の実施形態も可能である。一部の実施形態において、光起電力セル 1 0 0 は、底部電極としてアノードを備え、上部電極としてカソードを備える。一部の実施形態において、光起電力セル 1 0 0 はまた、底部電極としてカソードを備え、上部電極としてアノードを備えることができる。

【 0 0 8 6 】

一部の実施形態において、光起電力セル 1 0 0 は、図 1 に示す層を逆の順序で備えることができる。換言すると、光起電力セル 1 0 0 はこれらの層を底部から上部に以下の順番で、すなわち、基材 1 7 0、電極 1 6 0、正孔キャリア層 1 5 0、光活性層 1 4 0、任意の正孔ブロッキング層 1 3 0、電極 1 2 0 および基材 1 1 0 の順番で備えることができる。

20

【 0 0 8 7 】

一部の実施形態において、多数の光起電力セルが電氣的に接続されて、光起電力システムを形成することができる。例として、図 3 は、光起電力セル 3 2 0 を収容するモジュール 3 1 0 を有する光起電力システム 3 0 0 の概略図である。電池 3 2 0 は電氣的に直列に接続されており、システム 3 0 0 は負荷 3 3 0 に電氣的に接続されている。別の実施例として、図 4 は、光起電力セル 4 2 0 を収容したモジュール 4 1 0 を有する光起電力システム 4 0 0 の概略図である。電池 4 2 0 は、電氣的に並列に接続されており、システム 4 0 0 は負荷 4 3 0 に電氣的に接続されている。一部の実施形態において、光起電力システム内の光起電力セルのうちのいくつか（例えばすべて）は 1 つ以上の共通基材を有し得る。特定の実施形態では、光起電力システム内の一部の光起電力セルは電氣的に直列に接続され、光起電力システム内の光起電力セルのうちのいくつかは電氣的に並列に接続される。

30

【 0 0 8 8 】

有機光起電力セルについて説明してきたが、他の光起電力セルもまた、本願に記載される新規なポリマーのうちの 1 つを組み込むことができる。そのような光起電力セルの例としては、色素増感光起電力セルおよびアモルファスシリコン、セレン化カドミウム、テルル化カドミウム、セレン化銅インジウムおよび銅インジウムガリウムセレン化物から形成された光活性材料を有する無機光活性電池が挙げられる。一部の実施形態において、ハイブリッド光起電力セルは、本願に記載されたポリマーのうちの 1 つを組み込むことができる。

40

【 0 0 8 9 】

光起電力セルが上述されているが、一部の実施形態では、本願に記載されるポリマーは、他の装置およびシステムにおいて用いることができる。例えば、前記ポリマーは、電界効果トランジスタのような適当な有機半導体の装置、光検出器（例えば I R 検出器）、光起電力型検出器、画像化装置（例えばカメラまたは画像診断システム用の R G B 画像化装置）、発光ダイオード（L E D）（例えば有機 L E D（O L E D）または I R または近 I R L E D）、レーザー発振装置（lasing devices）、変換層（例えば可視発光を I R 発光に変換する層）、電気通信用の増幅器およびエミッター（例えばファイバー用ドープト）、記憶素子（例えばホログラフィー記憶素子）、およびエレクトロクロミックデバイス（例えばエレクトロクロミック表示装置）に用いられ得る。

50

【 0 0 9 0 】

以下の実施例は例証であり、限定するようには意図されない。

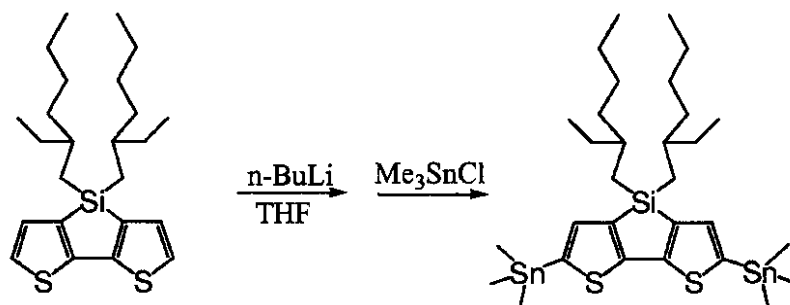
【 実施例 1 】

【 0 0 9 1 】

2,6-ビス(トリメチルスタニル)-4,4-ビス(2-エチルヘキシル)-4H-シロロ[3,2-b:4,5-b']ジチオフェン(2,6-bis(trimethylstannyl)-4,4-bis(2-ethylhexyl)-4H-silolo[3,2-b:4,5-b']dithiophene)の合成

【 0 0 9 2 】

【 化 1 0 】



10

0.737 g (約 1.76 mmol) の 3,3'-(2-エチルヘキシル)シリレン-2,2'-ジチオフェンを 20 mL の新たに蒸留した乾燥 THF 中に溶解させた。その溶液を 15 分間にわたって窒素でパージし、-78 に冷却した。ヘキサン (10 mmol) 中 4.00 mL の n-ブチルリチウムを上記のものに滴下して加えた。前記試剤をこの温度で 2 時間にわたって反応させた。次に、その溶液を室温に暖めた。反応をさらに 2.5 時間にわたって継続させた後、溶液を再び -78 に冷却し、ヘキサン中 12.00 mL (12.00 mmol) のトリメチルすずクロリドを反応溶液中に滴下して加えた。溶液を -78 でさらに 2 時間にわたって攪拌した後、その溶液を室温に暖めた。反応をさらに 16 時間にわたって継続した。反応完了後、100 mL の蒸留水を加え、反応生成物をトルエン (3 × 60 mL) で抽出した。合わせた有機相を、蒸留水 (3 × 150 mL) で洗浄し、硫酸ナトリウム上にて乾燥させた。次に、有機溶媒を真空下でロータリーエバポレーションによって除去した。残留物をトルエン中に溶解させ、トリエチルアミンで前処理したシリカゲルパッドを介して迅速に通過させた。有機溶媒を真空下で除去して、1.048 g の目標化合物を得た。反応収率は約 86.50% であった。

20

【 0 0 9 3 】

CDCl₃ 中の ¹H NMR : 7.00 (m, 2H)、1.25 - 1.42 (m, 16H)、0.86 - 0.94 (m, 10H) および 0.38 (m, 18H)。

【 実施例 2 】

【 0 0 9 4 】

4,4-ビス-(2-エチルヘキシル)-2,6-ビス-トリメチルスタニル-4H-シクロペンタ[2,1-b;3,4-b']ジチオフェン 4,4-bis-(2-ethylhexyl)-2,6-bis-trimethylstannyl-4H-cyclopenta[2,1-b;3,4-b']dithiophene の合成

【 0 0 9 5 】

40

【化 1 1】



出発物質 4,4 - ビス - (2 - エチルヘキシル) - 4 H - シクロペンタ [2 , 1 - b ; 3 , 4 - b '] ジチオフェン (1 . 5 g , 0 . 0 0 3 7 2 m o l) を乾燥 T H F (2 0 m L) 中に溶解させた。溶液を - 7 8 ° C に冷却した後、ブチルリチウム (5 . 2 1 m L , 0 . 0 1 3 0 m o l) を滴下して加えた。反応混合物をこの温度で 1 時間にわたって撹拌した。次いで、前記反応混合物を室温に暖め、さらに 3 時間にわたって撹拌した。その混合物を、 - 7 8 ° C に再度冷却し、トリメチルすずクロリド (1 M のヘキサン中、 1 5 . 6 m L , 1 5 . 6 m m o l) を滴下して加えた。反応混合物を室温に暖め、一晩 (約 1 6 時間) 撹拌した。

10

【 0 0 9 6 】

水を加えて、反応物をトルエンで抽出した。有機層を水で洗浄し、硫酸ナトリウム上で乾燥させ、濃縮した。残留物をトルエン中に溶解させ、トリエチルアミンで前処理したシリカゲルの小さなプラグを介して迅速に通過させた。溶媒を除去し、残留物を真空下で乾燥させた。 1 . 2 5 g の生成物を得た。 ^1H NMR (CDCl_3 , 2 5 0 M H z) : 6 . 9 6 (m , 2 H) , 1 . 8 5 (m , 4 H) , 1 . 2 9 (m , 2 H) , 0 . 9 2 (m , 1 6 H) , 0 . 7 8 (t , 6 . 8 H z , 6 H) , 0 . 6 1 (t , 7 . 3 H z , 6 H) , 0 . 3 8 (m , 1 8 H) 。

20

【実施例 3】

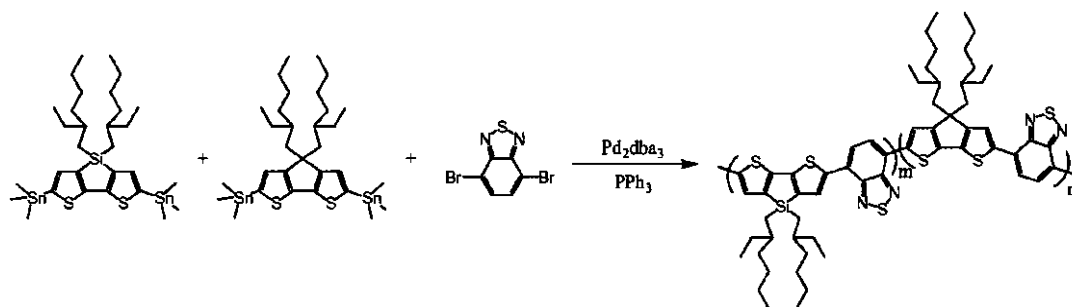
【 0 0 9 7 】

2 , 6 - ビス (トリメチルスタニル) - 4 , 4 - ビス (2 - エチルヘキシル) - 4 H - シロロ [3 , 2 - b : 4 , 5 - b '] ジチオフェン、 4 , 4 - ビス (2 - エチルヘキシル) - 2 , 6 - ビス (トリメチルスタナニル) - 4 H - シクロペンタ [2 , 1 - b : 3 , 4 - b '] ジチオフェン、および 4 , 7 - ジブromo - 2 , 1 , 3 - ベンゾチアジアゾールの間の重合

30

【 0 0 9 8 】

【化 1 2】



40

2 , 6 - ビス (トリメチルスタニル) - 4 , 4 - ビス - (2 - エチルヘキシル) - 4 H - シロロ [3 , 2 - b : 4 , 5 - b '] ジチオフェン (0 . 2 7 6 6 g , 0 . 3 7 1 5 m m o l) 、 4 , 4 - ビス (2 - エチルヘキシル) - 2 , 6 - ビス (トリメチル - スタナニル) - 4 H - シクロペンタ [2 , 1 - b ; 3 , 4 - b '] ジチオフェン (0 . 1 3 5 3 g , 0 . 1 8 5 8 m m o l) 、 4 , 7 - ジブromo - 2 , 1 , 3 - ベンゾチアジアゾール (0 . 1 5 7 5 g , 0 . 5 3 5 9 m m o l) 、 トリス (ジベンジリデンアセトン) - ジバ

50

ラジウム (14.7 mg, 16.1 μmol)、およびトリフェニルホスフィン (33.7 mg, 0.129 mmol) をトルエン (100 mL) 中に溶解させた。その反応を15分間にわたってアルゴンでバージし、120 °C で48時間にわたって加熱した。次いで、溶媒を真空下で除去し、残留物を熱ジクロロベンゼン (約100 mL) 中に溶解させた。ジエチルジチオカルバミン酸三水和物の溶液 (170 mL の水中に6 g) を加えた。その混合物を80 °C で24時間にわたって攪拌した。有機層を分離し、水で洗浄し、メタノール (800 mL) 中で沈殿させた後、固形物を濾過により収集して、ソックスレー抽出器内の円筒濾移動した。固形物をメタノールで24時間、アセトンで20時間、次いでジクロロメタンで4時間にわたって抽出した。それにより得られたポリマーを、次に熱1,2-ジクロロベンゼン (60 mL) 中に溶解させ、メタノール (約700 mL) 中で沈殿させた。ポリマーを青い固形物として濾過により収集した。この反応の収率は121 mg (~41%) であった。

10

【実施例4】

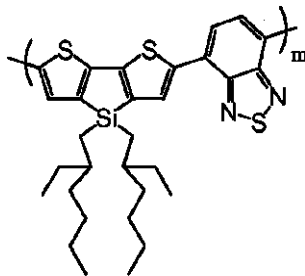
【0099】

太陽電池の製作

下記式のポリマー：

【0100】

【化13】



20

(ポリマー1)と、上記実施例3に記載したポリマー(ポリマー2)とを用いて太陽電池を製作した。ポリマー1は、2種類のみモノマー繰り返し単位が用いられたこと以外は、ポリマー2と同様の方法で調製した。太陽電池は、ヴァルトラウフ(Waldauf)ら、J.Appl.Phys. 99, 104503 2006に記載された方法に従って製作した。簡潔に述べると、ITO被覆ガラス上において、TiO_xをITOの層の上に施して正孔ブロッキング層を形成した。オルトジクロロベンゼン中にポリマー1または2と、C61-PCBMとを入れた溶液を、前記正孔ブロッキング層上に75 °Cでブレードコートして、光活性層を形成した。次に前記光活性層上にPEDOT:PSSの混合物をコーティングして正孔注入層を形成した。前記正孔キャリア層上に100 nmのAgを蒸着して上部電極を形成することによって装置を完成させた。

30

【0101】

結果によれば、疑似AM1.5G照射(オリエルソーラーシミュレータ(ORIEL Solar Simulator))下で試験した場合、光活性層中にポリマー1を含有する太陽電池は、8.1 mA \cdot cm⁻²のJ_{sc}、520 mVのV_{oc}、および0.31の充填率を示した。全体効率は1.4%であると算定された。理論によって縛られることを望むものではないが、相対的に不十分な性能は、励起子解離および電荷輸送を妨げる光活性層の不十分なモルフォロジーに起因すると考えられる。

40

【0102】

予想外なことに、同一の条件下で試験した場合、ポリマーを比較的低温(すなわち75 °C)でブレードコートした場合でさえ、光活性層中にポリマー2を含有する太陽電池がより良好な性能を示した。具体的には、結果によると、ポリマー2を含有する太陽電池は15.1 mA \cdot cm⁻²のJ_{sc}、570 mVのV_{oc}、および0.57の充填率を示し

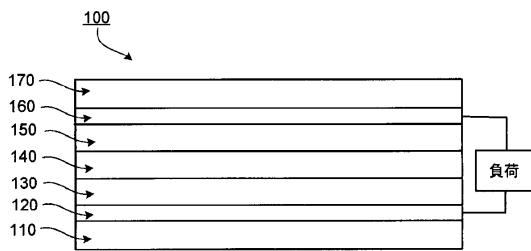
50

た。全体効率は約5%もの高さになると算定された。理論によって縛られることを望むものではないが、ポリマー2の有機溶媒中における改善された可溶性は、より良好なモルフォロジーを有する光活性層の形成を可能にし、それにより太陽電池の性能を著しく改善したものと考えられる。

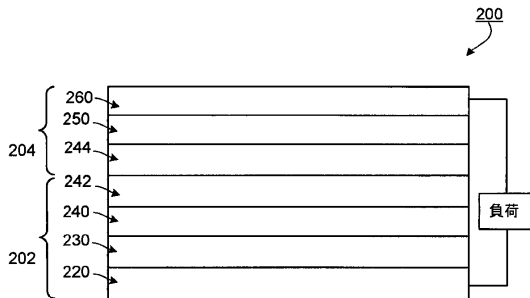
【0103】

他の実施形態は特許請求の範囲に存する。

【図1】



【図2】



【図3】

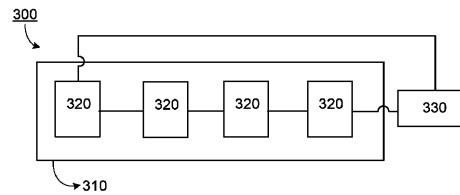


FIG. 3

【図4】

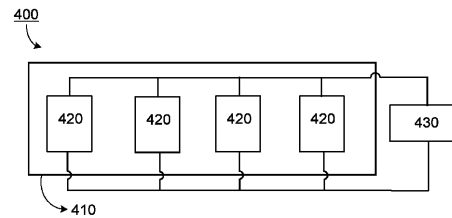


FIG. 4

フロントページの続き

(72)発明者 ウォラー、デイビッド

アメリカ合衆国 02420 マサチューセッツ州 レキシントン クーリッジ アベニュー 3
1

審査官 吉野 三寛

(56)参考文献 特表2010-507233(JP,A)

特表2009-521810(JP,A)

特表2009-506519(JP,A)

特表2009-533878(JP,A)

(58)調査した分野(Int.Cl., DB名)

H01L 51/46